

Interprétation de la structure de galaxies entourant le Superamas Local.

Titre courant: Structure autour du Superamas Local.

Georges PATUREL, Hélène DI NELLA, Jean-Noël TERRY et Gilles THEUREAU

Résumé – Interprétation de la structure de galaxies entourant le Superamas Local

Au vu des simulations numériques faites par E. Praton et ses collaborateurs, nous donnons une interprétation de la structure en cocon que nous avons observée pour la distribution des galaxies de notre voisinage. L'effet s'explique très simplement par les vitesses particulières engendrées par la chute sur les amas voisins. Dans cette interprétation, les structures comme le 'Cocon' (voire mme comme le 'Grand-Mur') pourraient tre de simples artefacts observationnels.

Abstract – Interpretation of the galaxy structure surrounding the Local Supercluster.

After numerical simulations by E. Praton, we interpret the cocon-like structure observed for the distribution of galaxies around us as an effect of infall velocities onto clusters. In this view structures like the Cocoon (or even like the Great-Wall) could be interpreted as observationnal artefacts.

Abridged English Version – In a previous paper (Di Nella et Paturel, 1994) we showed that galaxies around us seem to form a cocoon-like structure. This view was confirmed by the histogram of kinematical distances (distance derived from observed radial velocity) which shows a secondary peak at the position of the cocoon ($r = 70Mpc$). Further, the reality of this cocoon seemed not questionable because a part of it is made by the "Great-Wall" (Lapparent, Geller, Huchra, 1986) which is widely accepted as a real structure, in agreement with theoretical predictions (Zeldovich, 1970).

Our central position inside this cocoon was somewhat amazing even if the Local Supercluster, near the center, may open the way for a physical explanation. Nevertheless, our central position inside this Cocoon was strange enough to push us to look for stronger evidence. Thus, we tried to find missing connections between pieces of the Cocoon. More precisely, we search for a density enhancement between the Pavo-Indus region and the Perseus-Pisces one. For this purpose we measured radial velocities using the Australian FLAIR spectrograph. No connection has been found making the reality of the cocoon still more questionable.

Then, a colleague call our attention to a paper by E. Praton, Mellot and McKee (1997) presenting numerical simulations where it is shown that any observer does have the impression to be in the center of a Cocoon whatever his position. This effect would be caused by the fact that distances are calculated from observed radial velocities instead of the true cosmological ones.

The present Note aims at giving a simple explanation of this result using a remark by Rauzy et al. (1992) about the distorsion of the cosmological velocity field by an attractor (cluster or super-cluster).

Indeed, if one considers an observer O, near an attractor A (cluster or super-cluster), the cosmological radial velocity $V = H.r$ for a given galaxy G must be increased or reduced by the radial component of the infall velocity onto the attractor. Using the observed velocity instead of the true cosmological velocity leads us to an observed distance r' given by Rel. 2. Only galaxies located

on the surface of the sphere of diameter OA (hereafter Rauzy's sphere) have $r' = r$. For galaxies inside the sphere $r' > r$. For galaxies outside the sphere $r' < r$. Then, representative points of galaxies always move toward the surface of the sphere (figure 4) giving an artificial density enhancement near the surface of the sphere.

However, because the infall velocity diminishes when the distance to the cluster (GA) increases, the density enhancement will be higher near the cluster as shown in Fig.4 and Fig.5. Only a part of the sphere will be visible.

If we consider now Rauzy's spheres associated with several superclusters around the Local Supercluster a shell-like structure is found exactly as it has been observed (see Fig. 6).

The consequences of this interpretation may change our vision of the local universe: The Cocon structure (and even the Great-Wall) could be interpreted as observational artefacts. The calculation of correlation function should also be affected by this effect.

The remaining question is the following: Are the infall velocities large enough to create structures as strong as those seen? A quantitative analysis is in progress to address this question.

1 Introduction

Dans une note précédente (Di Nella et Paturel, 1994) nous avons montré que, dans le plan contenant les principaux super-amas de galaxies de notre voisinage (dans un rayon de 200 Mpc environ), la distribution des galaxies formait une sorte d'anneau qui pouvait être la trace d'une structure sphérique, le "Cocon" (figure 1), approximativement centrée sur notre Galaxie. Les galaxies avaient été localisées dans l'espace par leurs positions en coordonnées sphériques dans le système de coordonnées "hypergalactiques" que nous avons défini. Le rayon vecteur r était obtenu à partir de la vitesse radiale observée V_{obs} , par application de la loi de Hubble: $r = V_{obs}/H$, H étant la constante de Hubble arbitrairement fixée à une valeur de $75 km.s^{-1}.Mpc^{-1}$.

L'histogramme des vitesses radiales (figure 2) confirmait pleinement l'existence de ce Cocon, car un second maximum y apparaissait au rayon du Cocon (environ $r = 70 Mpc$). La forme générale de l'histogramme était par ailleurs en excellent accord avec la forme prévue par la fonction de sélection.

Un autre point confortait la description que nous donnions: une partie du Cocon était formée par le *Grand-Mur* découvert en 1986 par Lapparent, Geller et Huchra (1986) et dont personne ne songeait à discuter la réalité. De plus, depuis les travaux de Zeldovich (1970) on s'attendait à trouver une structure alvéolaire dans l'Univers.

Notre position centrale dans cette structure avait néanmoins de quoi surprendre, même si la présence du Super-Amas-Local (super-amas découvert par G. de Vaucouleurs en 1953) quasiment au centre pouvait justifier une interprétation physique (Paturel et Di Nella, 1997) en invoquant une constante cosmologique non nulle.

Pour rechercher une preuve plus concrète, nous avons essayé de mettre en évidence une connection entre les différents arcs formant le Cocon. En effet, il apparaît clairement qu'entre certaines régions comme celle située entre Pavo-Indus et Perseus-Pisces il y a une interruption de la surface du Cocon qui peut s'expliquer par un manque de données. Nous avons donc entrepris des observations avec le spectrographe Australien FLAIR qui nous a permis en quelques missions de rassembler assez de mesures de vitesses radiales pour conclure qu'il n'y avait pas de surdensité entre ces deux régions (Di Nella et al., 1996). Ce résultat négatif rendait encore plus invraisemblable la réalité physique du Cocon.

Un collègue allemand, H. Andernach, attira alors notre attention sur les travaux de Elizabeth Praton et de ses collaborateurs (E. Praton, Mellot and McKee, 1997), qui par des simulations numériques montraient que quelle que soit sa localisation un observateur avait toujours l'impression d'être au

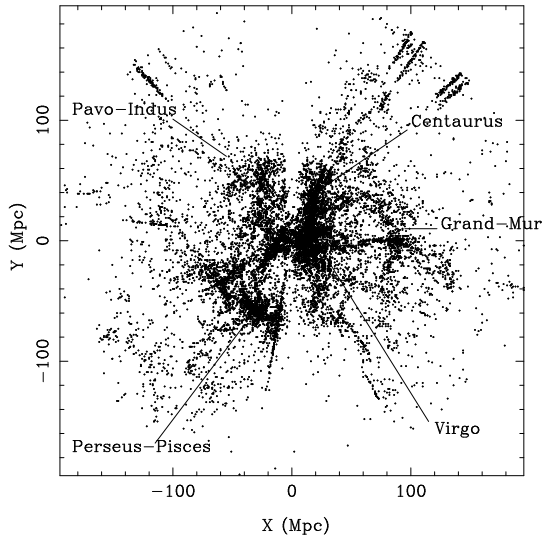


Figure 1: Structure en cocon des galaxies entourant le Super-Amas-Local. – *Cocoon-like structure of galaxies surrounding the Local Super-Cluster.*

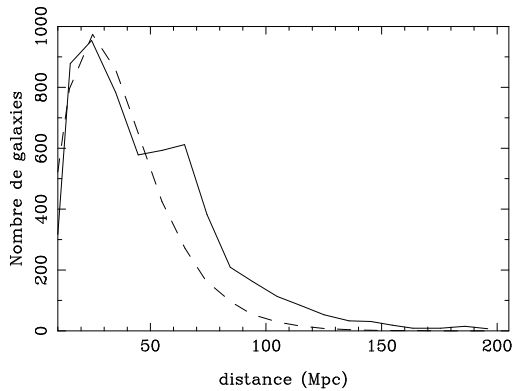


Figure 2: Histogramme des distances cinématiques calculées à partir de la vitesse radiale observée. La courbe suit globalement la fonction de sélection mais un pic secondaire apparaît pour le rayon approximatif du cocon. – *Histogram of kinematical distances calculated from observed radial velocities. The shape is the expected one from the selection function (dashed line) but a secondary maximum appears nearly for the radius of the cocoon.*

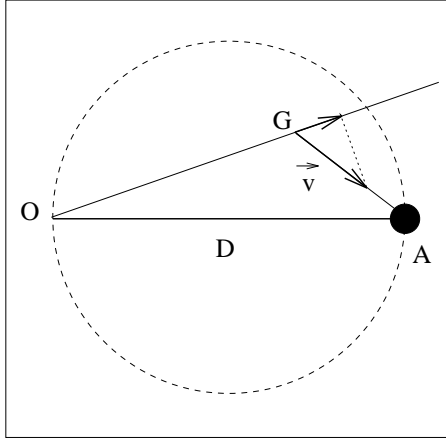


Figure 3: Vitesse de chute d’une galaxie G vers un attracteur A (amas) – *Infall velocity of a galaxy G towards an attractor A (cluster).*

centre d’une structure en Cocon. L’effet serait dû à ce que la distance d’une galaxie est déduite, travers la loi de Hubble, de la vitesse radiale *observée*, ce qui revient à identifier cette vitesse radiale observée à la vitesse cosmologique en négligeant la composante radiale de la vitesse propre de chaque galaxie.

Le but de la présente note est de montrer que cet effet peut être interprété en utilisant une remarque de S. Rauzy sur la perturbation du champ des vitesses par un attracteur (amas ou super-amas).

2 Perturbation de la vitesse cosmologique par les amas.

2.1 Sphère de Rauzy

Considérons un observateur O , un attracteur A (amas de galaxies) et une galaxie quelconque G située à une distance r de l’observateur (figure 3). La vitesse radiale cosmologique de cette galaxie sera notée V et sa vitesse propre de chute sur l’attracteur A sera notée v . La loi de Hubble s’écrit:

$$V = H.r \quad (1)$$

où H est la constante de Hubble. Il est facile d’établir que la distance radiale r' calculée en utilisant la vitesse radiale observée au lieu de la vitesse radiale cosmologique s’écrit:

$$r' = r + \frac{\vec{v} \cdot \vec{r}}{V} \quad (2)$$

Le lieu géométrique des points pour lesquels $r' = r$ (i.e., $\vec{v} \cdot \vec{r} = 0$) est la sphère de diamètre $D = OA$ que nous appellerons la sphère de Rauzy (Rauzy, Lachize-Rey et Henriksen, 1993).

En utilisant r' à la place de r comme on le fait nécessairement on distord la distribution des points représentatifs des galaxies. Plus précisément:

- Si $\vec{v} \cdot \vec{r} > 0$ (points intérieurs à la sphère de Rauzy) alors $r' > r$. Les points seront déplacés en direction de la surface de la sphère. Un point G_1 sera placé en G'_1 (voir figure 4)
- Si $\vec{v} \cdot \vec{r} < 0$ (points extérieurs à la sphère de Rauzy) alors $r' < r$. Les points seront aussi déplacés en direction de la surface de la sphère. Un point G_2 sera placé en G'_2 .

En conclusion, la sphère de Rauzy devrait apparaître comme une surdensité.

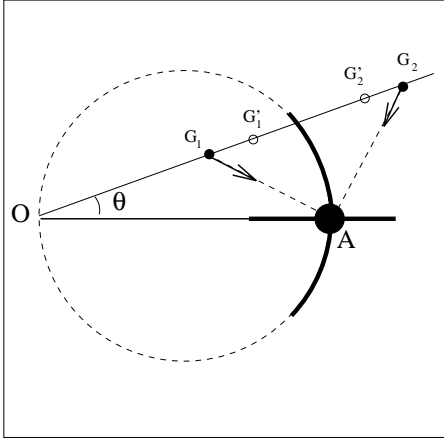


Figure 4: Une galaxie en G est placée à la position G' . Une surdensité apparaît près de l'amas de galaxies. – *A galaxy in G is plotted in G' . The density enhancement appears near the cluster.*

2.2 Variation de la surdensité sur la sphère de Rauzy

La surdensité apparente au voisinage de la sphère de Rauzy ne sera pas la même partout. La vitesse de chute sur un amas est de la forme $v \propto d^{1-\gamma}$, où γ est une constante et $d = GA$ la distance à l'attracteur. Pour un angle de visée donné θ il y a une distance minimum limite ($d_{lim} = D \cdot \sin \theta$). Donc nécessairement la surdensité au voisinage de la sphère sera forte près de l'amas et faible près de l'observateur ¹ comme l'illustre la figure 4, d'autant plus que la densité réelle est naturellement plus élevée au voisinage de l'amas que dans le champ général. Finalement, seule la partie de la sphère de Rauzy proche de l'amas sera visible.

Pour illustrer cet effet nous avons réalisé une simulation numérique. L'observateur étant à la position ($x = 0, y = 0$) nous avons pris une distribution uniforme de 1000 galaxies (galaxies de champ) superposée à une distribution gaussienne de 1000 galaxies (amas) centrée à la position supposée de l'amas ($x = 100, y = 0$) et de type cartésien $\sigma = 20$. Nous avons adopté une vitesse de chute de la forme (Peebles, 1976):

$$v = \frac{C}{d^{\gamma-1}} \quad (3)$$

avec $C=1300$ et $\gamma = 1.5$ nous avons obtenu la figure 5 qui montre bien l'effet. Les valeurs numériques adoptées donneraient pour la chute de notre Groupe Local sur l'amas Virgo ($d \approx 18 Mpc$) une vitesse de $300 km.s^{-1}$, ce qui est conforme aux observations.

Notons que lorsque la distance d tend vers zéro, la vitesse de chute augmente beaucoup et la surdensité peut apparaître sur un grand domaine de distance autour de l'amas. Cet effet conduit aux alignements appelés "Doigt de Dieu" (parce qu'ils pointent vers l'observateur) mais dont l'origine avait déjà été comprise.

2.3 Effet de plusieurs super-amas

Nous avons défini le plan hypergalactique comme le plan le plus peuplé en galaxies. Au moins cinq amas ou super-amas s'y trouvent localisés: le Super-Amas-Local, le super-amas de Pavo-Indus, le super-amas de Perseus-Pisces, le super-amas de Coma et l'amas de Centaurus. Plusieurs d'entre eux (PI, P-P et Coma) ont une vitesse comprise entre 5 000 et 7 000 $km.s^{-1}$. Les surdensités sur

¹Dans notre cas, les galaxies proches de l'observateur seront également perturbées par le Super-Amas-Local

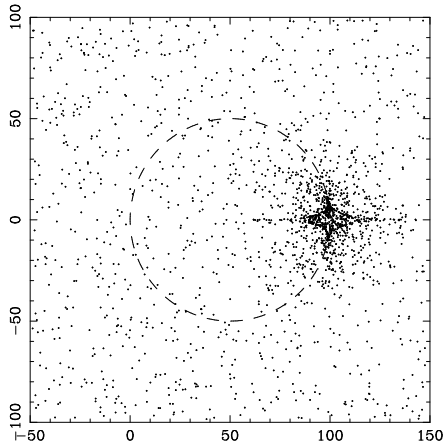


Figure 5: Une simulation faite avec des valeurs réalistes montre l'effet de surdensité en arc de cercle au voisinage de l'amas ainsi que l'effet d'tirement dans la direction de l'amas ('Doigt de Dieu'). L'observateur est supposé être au point de coordonnées $(0, 0)$ et l'amas au point $(100, 0)$. –*A simulation with realistic values shows the effect of curved density enhancement near the cluster and the 'Finger of God' effect. The observer is located at $(0, 0)$ and the cluster at $(100, 0)$.*

les sphères de Rauzy associées à ces super-amas donnent une interprétation plausible du Cocon comme la figure 6 l'illustre.

3 Conclusions

Plusieurs conséquences intéressantes découlent de l'interprétation ci-dessus:

- La structure en Cocon serait un artefact observationnel. Notre position centrale serait un effet apparent qui s'expliquerait de manière très naturelle sans qu'il soit nécessaire d'invoquer des hypothèses nouvelles.
- La surdensité du "Grand-Mur" qui est une structure plus simple formant une partie du Cocon serait renforcée par l'effet décrit ci-dessus et pourrait, à la limite, être vue aussi comme un artefact observationnel.
- Les fonctions de corrélation calculées habituellement à partir des distances déduites de la vitesse radiale observée devraient être affectées.

La dernière question qui se pose est la suivante: Les vitesses particulières engendrées par l'attraction gravitationnelle des amas ou super-amas sont-elles suffisamment grandes pour expliquer des structures aussi marquées que le Cocon ou le Grand-Mur. Une analyse quantitative est en cours mais les simulations de Elizabeth Praton semblent promettre une réponse affirmative.

REFERENCES BIBLIOGRAPHIQUES

- DE LAPPARENT V., GELLER M., HUCHRA J., 1986, *A slice of the Universe*, *Astrophys. J.* 302, p.L1-L5
 DE VAUCOULEURS G., 1953, *Evidence for a local Supergalaxy*, *Astronomical Journal*, 58, p.30-32

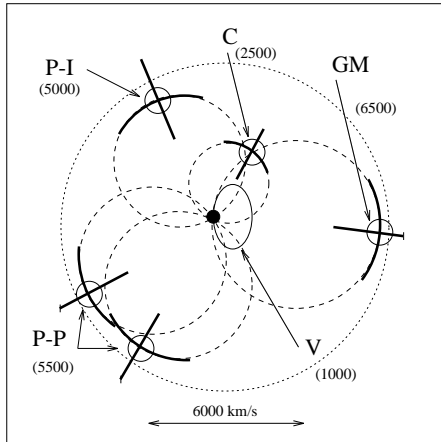


Figure 6: Plusieurs surdensités en arc de cercle donnent l'impression l'observateur d'être au centre d'une structure sphérique parce que les amas les plus riches apparaissent tous approximativement la même distance de nous cause de la fonction de sélection qui limite la profondeur d'exploration (voir figure 2). Pour chaque concentration représentée sur la figure 1 nous donnons la vitesse radiale approximative en km.s^{-1} . – Several curved density enhancements look like a spherical structure centered on the observer because the richest clusters all appear nearly at the same distance from us due to the selection function which limits the depth of exploration (see figure 2). For each galaxy cluster quoted in figure 1 we give the approximate radial velocity in km.s^{-1} .

DI NELLA H., PATUREL G., 1994 *Structure grande échelle de l'Univers jusqu'à la distance de 200 Mpc*, C. R. Acad. Sci. Paris, t.319, Srie II, p.57-62

DI NELLA H., COUCH W., PATUREL G., PARKER Q., 1996, *Are the Perseus-Pisces chain and the Pavo-Indus wall connected?*, Mon. Not. R. Astron. Soc. 283, p.367-380

PATUREL G., DI NELLA H., 1995, *Galaxy Distribution Around The Local Supercluster*, Astro. Lett. & Communications 31, p.337-340

PEEBLES P.J.E., 1976, *The peculiar velocity field in the Local Supercluster*, Astrophys. J. 205, p.318-328

PRATON E.A., MELOTT A.L., MCKEE M.Q., 1997, *The Bull's-Eye Effect: Are Galaxy Walls Observationally Enhanced ?*, Astrophys. J. 479, p.L15-18

RAUZY S., LACHIEZE-REY M., HENRIKSEN R.N., 1992, *Detecting non-Hubble velocity fields in the universe*, Astron. Astrophys. 256, p.1-9

ZEL'DOVICH Y.B., 1970, *Gravitational Instability: An Approximate Theory for Large Density Perturbations*, Astron. Astrophys. 5, p.84-89

PATUREL G.: Observatoire de Lyon, 69561 Saint-Genis Laval CEDEX, France

TEL: 04.78.86.83.83 FAX: 04.78.86.83.86 E-MAIL: patu@obs.univ-lyon1.fr

(PATUREL G. corrigera les preuves)

DI NELLA H.: Observatoire de Lyon, 69561 Saint-Genis Laval CEDEX, France

TEL: 04.78.86.83.83 FAX: 04.78.86.83.86 E-MAIL: courtois@obs.univ-lyon1.fr

TERRY J.N.: Observatoire de Lyon, 69561 Saint-Genis Laval CEDEX, France

TEL: 04.78.86.83.83 FAX: 04.78.86.83.86 E-MAIL: jnterry@obs.univ-lyon1.fr

THEUREAU G.: Observatoire de Paris, 92195 Meudon CEDEX, France

TEL: 01.45.07.76.04 FAX: 01.45.07.79.39 E-MAIL: theureau@obspm.fr